



УДК 575.22.224:577.112

ИССЛЕДОВАНИЕ РОЛИ ОСТАТКОВ ГИСТИДИНА В ФУНКЦИОНИРОВАНИИ УРИДИНФОСФОРИЛАЗЫ ИЗ *Escherichia coli* K-12 МЕТОДАМИ БЕЛКОВОЙ ИНЖЕНЕРИИ

© 1995 г. В. П. Вейко, З. З. Сипрашвили, К. И. Ратманова, Л. Б. Гулько

Государственный научно-исследовательский институт генетики и селекции
промышленных микроорганизмов, Москва

Поступила в редакцию 01.02.95 г.

С использованием сайт-направленного мутагенеза сконструированы мутантные формы гена уридинфосфорилазы из *E. coli*, кодирующие белки с точечными заменами остатков гистидина: H8N, H47N, H101N, H122N, H152N, H179N и H240N. Изучение ферментативной активности мутантов уридинфосфорилазы показало, что замены остатков His⁴⁷, His¹⁰¹, His¹⁵², His¹⁷⁹ и His²⁴⁰ на аспарагин не влияют на функционирование белка. Замены H122N и H8N снижают уридинфосфорилазную активность на 60 и 100% соответственно, что свидетельствует о важной функциональной роли остатков His¹²² и His⁸ в формировании активного центра фермента.

Ключевые слова: сайт-направленный мутагенез; уридинфосфорилаза; остатки гистидина, полимеразная цепная реакция; *Escherichia coli*.

Наличие в клетках *Escherichia coli* ферментативной системы катаболизма и транспорта нуклеозидов позволяет бактериальным клеткам расти на среде, содержащей нуклеозиды в качестве единственного источника углерода [1]. Первый этап катаболизма – расщепление β-N-гликозидной связи нуклеозида соответствующей нуклеозидфосфорилазой и освобождение пуринового или пиримидинового основания и фосфата углевода. Одним из ферментов катаболизма нуклеозидов *E. coli*, осуществляющим обратимый фосфорилиз уридурина до урацила и рибоза-1-фосфата, является уридинфосфорилаза (КФ 2.4.2.3). Ген уридинфосфорилазы (*uidP*) локализован на 85-й мин хромосомной карты *E. coli*, клонирован и определена его полная нуклеотидная последовательность [2]. Для уридинфосфорилазы, выделенной из различных источников [3 - 5], показано, что фермент участвует в деградации некоторых аналогов пиримидиновых нуклеозидов, применяемых при лечении злокачественных опухолей, снижая тем самым химиотерапевтическое действие данных соединений [6, 7]. Изучение структурно-функциональной организации и механизма действия уридинфосфорилазы имеет большое значение как для поиска высокоспецифических ингибиторов [8, 9], так и для создания модели ее пространственной организации.

Сокращения: H8N – направленная точечная мутация остатка гистидина 8 на аспарагин (аналогично другие мутации); PCR – полимеразная цепная реакция. Символ “d” в формулах дезоксирибоолигонуклеотидов опущен.

Ранее нами была сконструирована рекомбинантная плазмида и получен соответствующий штамм-продуцент, обеспечивающий высокий уровень накопления уридинфосфорилазы в клетках *E. coli* [10].

Данная работа, являющаяся частью комплексного исследования структурно-функциональной организации уридинфосфорилазы, направлена на выяснение роли остатков гистидина в функционировании фермента.

Уридинфосфорилаза из *E. coli* K-12 состоит из шести одинаковых белковых субъединиц с молекулярной массой 27.5 кДа [11]. Аминокислотная последовательность субъединицы (253 а. о.) отличается высоким содержанием остатков аланина, глицина и валина (до 30%). В каждой субъединице уридинфосфорилазы локализовано семь остатков гистидина в положениях 8, 47, 101, 122, 152, 179 и 240.

Известно, что в различных белках остатки гистидина непосредственно участвуют в катализическом превращении субстрата [12, 13]. Первоначально роль гистидинов в уридинфосфорилазе изучали при помощи химической модификации фермента [14]. Было показано, что в каждой субъединице белка модификации подвергаются три гистидиновых остатка, из которых только один важен для ферментативной активности. Однако ни один из этих остатков гистидина, включая функционально значимый остаток, локализован не был. Также оставалась невыясненной функциональная

Ферментативная активность мутантных форм уридинфосфорилазы и олигонуклеотиды, использованные для их создания

Праймер	Структура мутагенных олигонуклеотидов 5' → 3'	Мутант	Аминокислотные замены	Активность фермента, %
(I)	TTTGATCCATGCTCAAGTCTGATGTTAAATCTG	1	H8N	0
(II)	GAATTCCGGTTAGATGCCAGC	2	H47N	100
(III)	CATTAATATTCGGCTGAATAGCG	3	H101N	100
(IV)	GGTGCAGTTCAGGCTCGC	4	H122N	40
(V)	ACGCCAACGTTAGTTGTGCGC	5	H152N	100
(VI)	CCTTAAAGTTACGAAC	6	H179N	100
(VII)	TTTCACCGCATTGCTTCGGTT	7	H240N	100

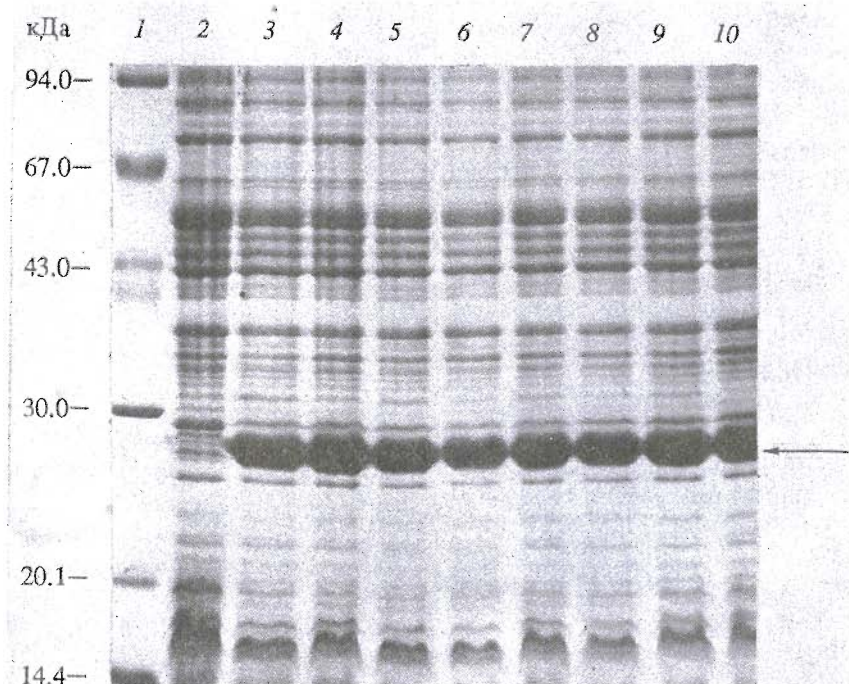
Примечание. За единицу активности фермента принято такое его количество, которое расщепляет 1 мкмоль уридина за 1 мин при 37°C [3]. За 100% принята удельная ферментативная активность уридинфосфорилазы дикого типа, составлявшая в экспериментах 130 ед./мг. Жирным шрифтом выделены кодоны, вызывающие направленный мутагенез.

роль остальных четырех остатков гистидина, входящих в состав белка.

В данной работе мы изучали влияние остатков гистидина в уридинфосфорилазе на ее ферментативную активность. Мутантные аллели гена *udp*, несущие точечные замены в составе гистидиновых кодонов, приводящие к их замене на аспарагиновые кодоны, конструировали при помощи сайт-направленного мутагенеза с применением PCR [15]. В работе использовали олигонуклеотиды (I) - (VII) (таблица), позволяющие вводить в

белок точечные мутации H8N, H47N, H101N, H122N, H152N, H179N и H240N. Мутантные аллели гена *udp* клонировали в плазмиду pUC18.

Анализ клеточных лизатов *E. coli*, несущих рекомбинантные плазмиды, показал, что введение в уридинфосфорилазу замен H8N, H47N, H101N, H122N, H152N, H179N и H240N не влияет на уровень накопления белка: мутантные формы гена уридинфосфорилазы экспрессируются на уровне дикой аллели (рисунок).



Электрофорез в 12.5% SDS-ПААГ лизатов культуры клеток *E. coli* C600, трансформированных плазмидой pUUDP (3) и этой же плазмидой с точечными мутациями гена *udp*, приводящими к аминокислотным заменам H8N (4), H47N (5), H101N (6), H122N (7), H152N (8), H179N (9), H240N (10); 1 – белки-маркеры, 2 – штамм-реципиент. Стрелкой показаны полосы, соответствующие уридинфосфорилазе.

Изучение мутантных форм уридинфосфорилазы показало, что замены H47N, H101N, H152N, H179N и H240N (таблица) не снижают ферментативной активности уридинфосфорилазы. Наряду с этим замены H8N (мутант 1) и H122N (мутант 4) приводят соответственно к полной и 60% потере уридинфосфорилазной активности. Полная потеря активности в результате замены H8N свидетельствует о важной функциональной роли остатка His⁸, что может быть связано с его непосредственным участием в формировании активного центра фермента. Результаты, полученные для мутанта 4, дают возможность предположить, что остаток His¹²² выполняет важную структурную роль в поддержании активной формы уридинфосфорилазы.

Полученные результаты соответствуют ранее полученным данным [14] и позволяют локализовать один из функционально значимых остатков гистидина – His⁸, участвующий, по-видимому, в формировании активного центра уридинфосфорилазы.

ЭКСПЕРИМЕНТАЛЬНАЯ ЧАСТЬ

В работе использовали акриламид, агарозу, трис-основание, SDS, глицин, EDTA, ATP (Sigma, США); соли (Merck, Германия); набор белковых маркеров (Pharmacia, Швеция). Все остальные реагенты – отечественного производства квалификации х. ч. и ос. ч.

Ферменты: эндонуклеазы рестрикций SacI, SalGI (Biolabs, США); Т4-ДНК-лигаза и Т4-полинуклеотидкиназа, модифицированная Т7-полимераза (Amersham, Англия), Taq-полимераза (НПО “Ферментас”, Литва), РНКаза А (Sigma, США).

Бактериальный штамм *E. coli* C600 (*thi thr leu Dpro-lac Δmet-udp recA*) получен из музея ГНИИ генетики.

Бактериальные клетки культивировали при 37°C на среде Лурия (L-бульон) [16]. Твердые среды содержали 1.5% агара. Компоненты бактериальных сред – триптон, дрожжевой экстракт и агар – производства Difco (США). Для обеспечения селективного роста клеток применяли ампилин (50 мкг/мл).

Бактериальные плазмида. Использовали плазмиду pUUDP, сконструированную нами ранее [10], и pUC18, полученную из музея ГНИИ генетики. Выделение плазмидной ДНК, приготовление компетентной культуры клеток *E. coli* и трансформацию проводили так, как описано в работе [16].

Дезоксирибоолигонуклеотиды синтезировали и выделяли согласно [17].

Сайт-направленный мутагенез для конструирования мутантных форм уридинфосфорилазы проводили с использованием PCR по методике [15]. Реакционная смесь (100 мкл) содержала 0.1 М

трис-HCl (рН 8.4), 3.2 мМ MgCl₂, 20 мМ (NH₄)₂SO₄, 0.2 мМ dNTP, 6 нг амплифицируемой ДНК-матрицы и 2.5 ед. акт. Taq-полимеразы. В качестве краевых праймеров использовали олигонуклеотид N_{udp} – (5')TTTTGGATCCATGTCCAAGTCTG, гомологичный 5'-концу значащей цепи гена, и C_{udp} – (5')TTTTGTCGACTTACAGCAGACG, комплементарный 3'-концу значащей цепи гена. Амплификацию проводили в течение 25 циклов по программе (°С/мин): денатурация – 94/1, отжиг – 58/1, элонгация – 72/1. В случае использования олигонуклеотидов N_{udp} и C_{udp} предварительные 7 циклов амплификации отличались от последующих температурой отжига праймеров (40°C). Полученный фрагмент ДНК, несущий мутантный аллель гена *udp*, клонировали в мультикопийный вектор pUC18 и ген экспрессировали в штамме-реципиенте *E. coli* C600.

Первичную последовательность ДНК определяли по методу Сэнгера [18].

Белковый денатурирующий электрофорез проводили по Леммли [19].

Ферментативную активность уридинфосфорилазы определяли согласно методике [3].

СПИСОК ЛИТЕРАТУРЫ

- Hammer-Jespersen K. // Metabolism of Nucleotides, Nucleosides and Nucleobases in Microorganisms / Ed. Manch-Petersen A. London, New York, San Francisco: Acad. Press, 1983. P. 203 - 258.
- Walton L., Richards C.A., Elwell L.P. // Nucl. Acids Res. 1989. V. 16. P. 6741 - 6744.
- Leer J.C., Hammer-Jespersen K., Schwartz M. // Eur. J. Biochem. 1977. V. 75. P. 217 - 224.
- Vita A., Amici A., Cacciamani T., Lanciotti M., Magni G. // J. Biochem. 1986. V. 5. P. 431 - 436.
- Kouni M.H., Naguib F.N.M., Niedzwieki J.G., Ilzsch M.H., Sungman Cha. // J. Biol. Chem. 1988. V. 263. P. 6081 - 6086.
- Mukherjee K.L., Bochar J., Wentland D., Anstield F.G., Heidelberger C. // Cancer Res. 1963. V. 23. P. 49 - 66.
- Iigo M., Nishikata K., Nakajima Y. // Biochem. Pharm. 1990. V. 39. P. 1247 - 1253.
- Fardos N.M., Naguib F.N.M., Mahmoud H., Kouni M.H., Shih Hsi Chu, Sungman Cha. // Biochem. Pharm. 1987. V. 36. P. 2195 - 2201.
- Martin D.S., Stoffi R.L., Sawyer R.C. // Cancer Chem. Pharm. 1989. V. 24. P. 9 - 14.
- Вейко В.П., Сипрашвили З.З., Ратманова К.И., Гулько Л.Б., Андрюхина Р.В. // Докл. РАН. 1994. Т. 339. С. 1 - 3.
- Cook W.J., Kasalka G.W., Hall W.W., Narayana S.V.L., Ealick S.E. // J. Biol. Chem. 1987. V. 262. P. 2852 - 2853.
- Шульц Г., Ширмер Р. Принципы структурной организации белков. М.: Мир, 1982.
- Mercier G.A., Osman R., Weinstein H. // Prot. Engin. 1988. V. 2. P. 261 - 270.

14. Drabikowska A.K., Wozniak G. // J. Biochem. 1990. V. 270. P. 319 - 323.
15. Baretino D., Feigenbutz M., Valearcel R., Stunnenberg H.G. // Nucl. Acids Res. 1994. V. 22. P. 541 - 542.
16. Маниатис Т., Фрич Э., Сэмбрук Д. Молекулярное клонирование. М.: Мир, 1984.
17. Вейко В.П., Ратманова К.И., Осипов А.С., Буленков М.Т., Пугачев В.В. // Биоорган. химия. 1991. Т. 17. С. 685 - 689.
18. Sanger F., Nicklen S., Coulson A.R. // Proc. Natl. Acad. Sci. USA. 1977. V. 74. P. 5463 - 5467.
19. Laemmli U. // Nature. 1970. V. 227. P. 680 - 685.

Role of Histidine Residues in the Activity of Uridine Phosphorylase from *Escherichia coli* K-12 Studied by Protein Engineering Methods

V. P. Veiko, Z. Z. Siprashvili, K. I. Ratmanova, and L. B. Gul'ko

State Research Institute of Genetics and Selection of Industrial Microorganisms, Moscow, Russia

Abstract – Using site-directed mutagenesis, mutant genes of the *E. coli* UDPase that coded proteins with point substitutions of histidine residues (i.e., H8N, H47N, H101N, H122N, H152N, H179N, and H240N) were constructed. Study of the enzymatic activity of mutant UDPases showed that histidine-asparagine substitutions at the positions 47, 101, 152, 179, and 240 do not affect protein functioning. Whereas H122N and H8N substitutions inhibit the activity of UDPase by 60 and 100%, respectively. This evidences the important functional role of the His¹²² and His⁸ residues for the formation of the active site of the enzyme.

Key words: site-directed mutagenesis, UDPase, histidine residues, polymerase chain reaction, *Escherichia coli*.